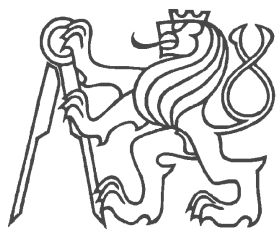


Metoda hraničních prvků

Úvod do metody



Motivace

Laplaceova rovnice

$$\nabla^2 u(x) = 0 \quad \text{in } \Omega \quad (x \in \Omega)$$

S okrajovými podmínkami

Dirichletova o. p. $u(x) = \bar{u}(x) \quad \text{in } \Gamma_1 \quad (x \in \Gamma_1)$

Neumannova o. p. $q(x) = \frac{\partial u(x)}{\partial n} = \bar{q}(x) \quad \text{in } \Gamma_2 \quad (x \in \Gamma_2)$



Metoda vážených reziduí

$$\int_{\Omega} (\nabla^2 u) w \, d\Omega = 0$$

Greenova věta = integrace per partes

$$\int_{\mathcal{V}} \text{grad } u \, \text{grad } v \, dV = - \int_{\mathcal{V}} u \Delta v \, dV + \int_{\mathcal{S}} u \, \text{grad } v \, dS$$



Klasifikace aproximačních metod

- **Původní formulace**

$$\int_{\Omega} (\nabla^2 u) w \, d\Omega = \int_{\Gamma_2} (q - \bar{q}) w \, d\Gamma - \int_{\Gamma_1} (u - \bar{u}) w \, d\Gamma$$

- **Slabá formulace (řešení)**

$$\int_{\Omega} \frac{\partial u}{\partial x_k} \frac{\partial w}{\partial x_k} \, d\Omega = \int_{\Gamma_2} \bar{q} w \, d\Gamma + \int_{\Gamma_1} q w \, d\Gamma + \int_{\Gamma_1} (u - \bar{u}) \frac{\partial w}{\partial n} \, d\Gamma$$

- **Inverzní formulace**

$$\int_{\Omega} (\nabla^2 w) u \, d\Omega = - \int_{\Gamma_2} \bar{q} w \, d\Gamma - \int_{\Gamma_1} q w \, d\Gamma + \int_{\Gamma_2} u \frac{\partial w}{\partial n} \, d\Gamma + \int_{\Gamma_1} \bar{u} \frac{\partial w}{\partial n} \, d\Gamma$$



Bázové funkce jsou
stejné pro u a w

Originální
Galerkinova metoda

Konečné prvky
Galerkinovy techniky

Trefftzova metoda

Původní formulace

Slabá formulace

Inverzní formulace

Bázové funkce jsou
rozdílné pro u a w

Konečné diference
Momentová metoda
Obecná vážená rezidua

Obecná vážená rezidua
– inverzní formulace

Hraniční integrály



MHP formulace

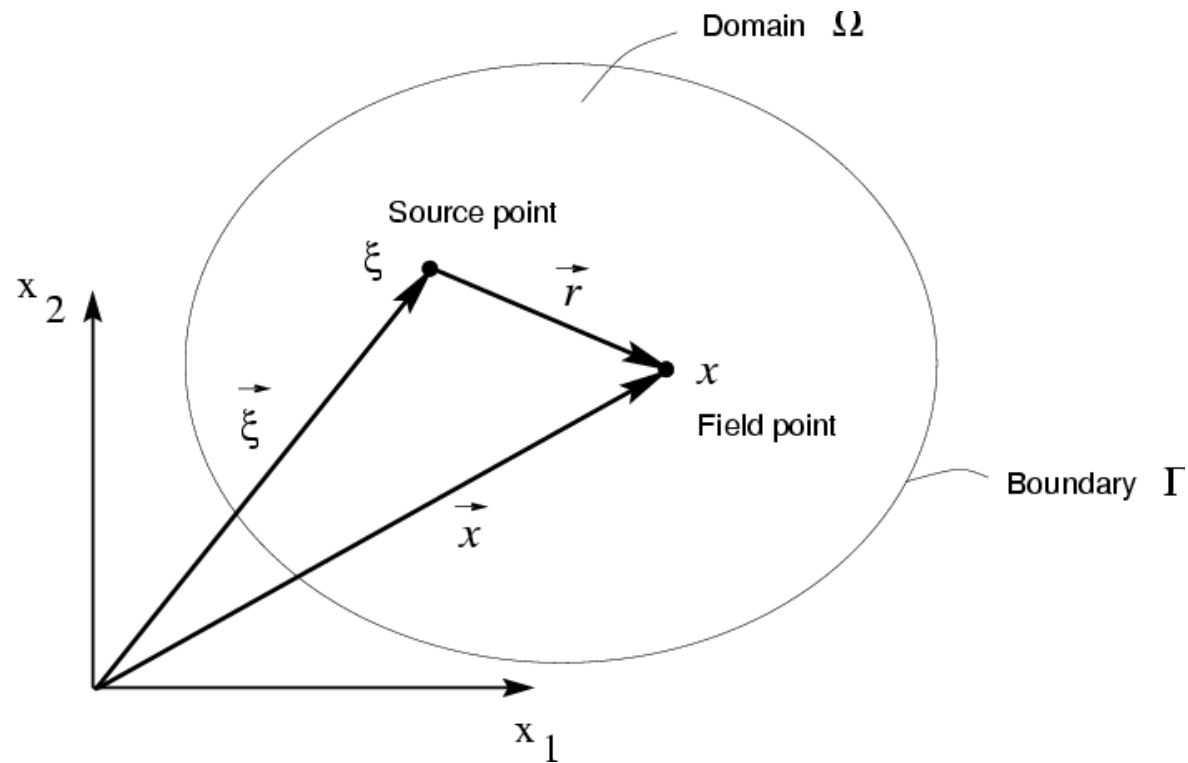
$$\int_{\Omega} \nabla^2 u^*(\xi, x) u(x) \, d\Omega(x) = - \int_{\Gamma_2} \bar{q}(x) u^*(\xi, x) \, d\Gamma(x) - \int_{\Gamma_1} q(x) u^*(\xi, x) \, d\Gamma(x) \\ + \int_{\Gamma_2} u(x) \frac{\partial u^*(\xi, x)}{\partial n} \, d\Gamma(x) + \int_{\Gamma_1} \bar{u}(x) \frac{\partial u^*(\xi, x)}{\partial n} \, d\Gamma(x)$$

kde u^* je tzv. fundamentální řešení

$$\nabla^2 u^*(\xi, x) = -\Delta(\xi, x)$$

Poznámka:

$$\int_{\Omega} u(x) \Delta(\xi, x) \, d\Omega = u(\xi)$$



Diracova funkce delta

$$\Delta(\xi, x) = 0 \quad \text{for } \xi = x$$

$$\Delta(\xi, x) = \infty \quad \text{for } \xi \neq x$$

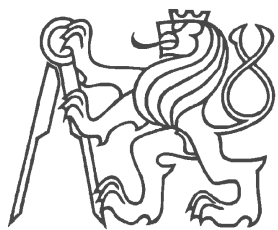


Rovnice pro hraniční integrály

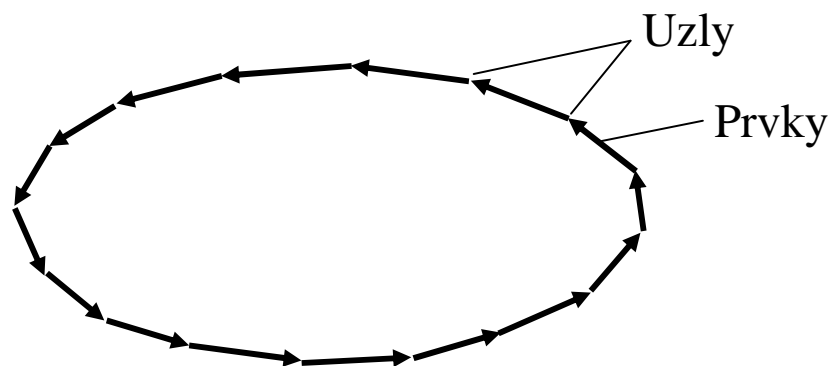
$$c(\xi)u(\xi) + \int_{\Gamma} u(x)q^*(\xi, x) d\Gamma(x) = \int_{\Gamma} q(x)u^*(\xi, x) d\Gamma(x)$$

Fundamentální řešení pro Laplaceovu rovnici

$$u^* = \ln \left(\frac{1}{r} \right)$$

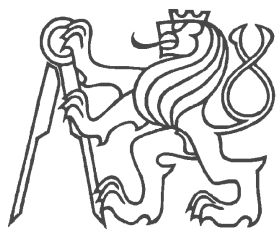


Diskretizace



$$c_i u_i + \sum_{j=1}^N \int_{\Gamma_j} u q^* d\Gamma = \sum_{j=1}^N \int_{\Gamma_j} u^* q d\Gamma$$

$$c_i u_i + \sum_{j=1}^N \left\{ \int_{\Gamma_j} q^* d\Gamma \right\} u_j = \sum_{j=1}^N \left\{ \int_{\Gamma_j} u^* d\Gamma \right\} q_j$$



$$\sum_{j=1}^N H_{ij} u_j = \sum_{j=1}^N G_{ij} q_j$$

$$H_{ij} = H_{ji} \text{ for } i \neq j$$

$$H_{ij} = H_{ij} + c_i \text{ for } i = j$$

Maticový zápis:

$$\mathbf{HU} = \mathbf{GQ}$$

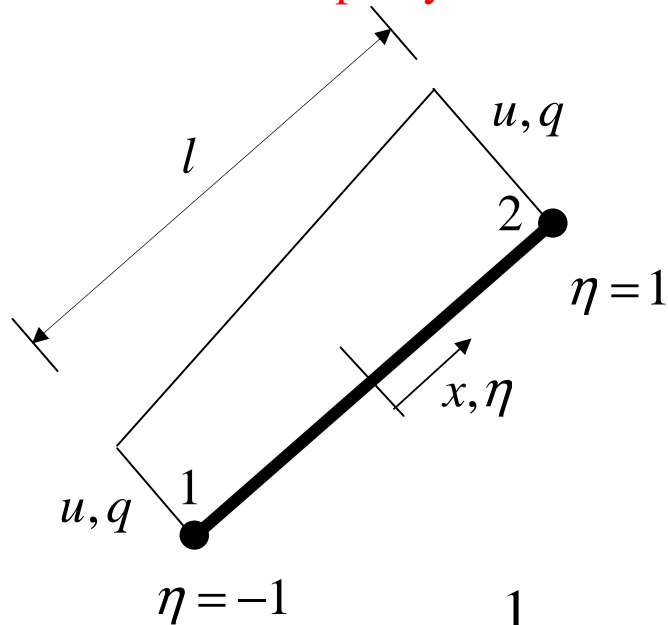
$$\mathbf{AY} = \mathbf{F}$$

Poznámka: matice \mathbf{A} je nesymetrická



2D-Interpolační funkce

- **Lineární prvky**



$$u(\eta) = \varphi_1 u_1 + \varphi_2 u_2 = [\varphi_1 \varphi_2] \begin{Bmatrix} u_1 \\ u_2 \end{Bmatrix} = \boldsymbol{\varphi}^T \mathbf{u}^n$$

$$q(\eta) = \varphi_1 q_1 + \varphi_2 q_2 = [\varphi_1 \varphi_2] \begin{Bmatrix} q_1 \\ q_2 \end{Bmatrix} = \boldsymbol{\varphi}^T \mathbf{q}^n$$

$$\eta = -1$$

$$\varphi_1 = \frac{1}{2}(1 - \eta),$$

$$\varphi_2 = \frac{1}{2}(1 + \eta)$$

- **Bilineární prvky**
- **Kvadratické prvky**
- **Kubické prvky**



Lineární statika

Bettiho věta o vzájemnosti $\int_{\Omega} \sigma \varepsilon^* d\Omega = \int_{\Omega} \sigma^* \varepsilon d\Omega$

Rovnice pole

$$\begin{aligned} \partial \sigma + \bar{X} &= 0 && \text{in } \Omega \\ \varepsilon - \partial^T u &= 0 && \text{in } \Omega \\ \sigma &= D(\varepsilon - \varepsilon_0) && \text{in } \Omega \end{aligned}$$

Okrajové podmínky

$$\begin{aligned} u &= \bar{u} && \text{on } \Gamma_u \\ p = n\sigma &= \bar{p} && \text{on } \Gamma_p \end{aligned}$$

Lameho rovnice

$$\partial D(\partial^T u - \varepsilon_0) + \bar{X} = 0$$



Fundamentální řešení

Lameho rovnice

$$\partial D \partial^T \mathbf{u}^*(\mathbf{x}) + \mathbf{I} \delta(\mathbf{x}) = 0$$

2D-Kelvinovo řešení

posunutí

$$u_{ij}^* = \frac{1}{8\pi(1-\nu)G} \left[(3-4\nu) \ln(1/r) \delta_{ij} + \frac{r_i}{r} \frac{r_j}{r} \right]$$

síla

$$p_{ij}^* = -\frac{1}{4\pi(1-\nu)r} \left[\frac{dr}{dn} \left\{ (1-2\nu) \delta_{ij} + 2 \frac{r_i}{r} \frac{r_j}{r} \right\} + (1-2\nu) \left(\frac{r_j}{r} n_i - \frac{r_i}{r} n_j \right) \right]$$

napětí

$$\sigma_{ijk}^* = -\frac{1}{4\pi(1-\nu)r} \left[(1-2\nu) \left(-\frac{r_i}{r} \delta_{jk} + \frac{r_j}{r} \delta_{ik} + \frac{r_k}{r} \delta_{ij} \right) + 2 \frac{r_i}{r} \frac{r_j}{r} \frac{r_k}{r} \right]$$



Somiglianova formulace

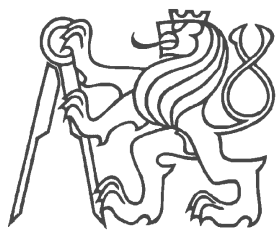
Na hranici $c(\xi)u(\xi) = \int_{\Gamma_u} \mathbf{U}^*(\xi, \mathbf{x}) \mathbf{p}(\mathbf{x}) d\Gamma - \int_{\Gamma_p} \mathbf{P}^*(\xi, \mathbf{x}) \mathbf{u}(\mathbf{x}) d\Gamma + \mathbf{u}_I(\xi)$

Pro vnitřní bod:

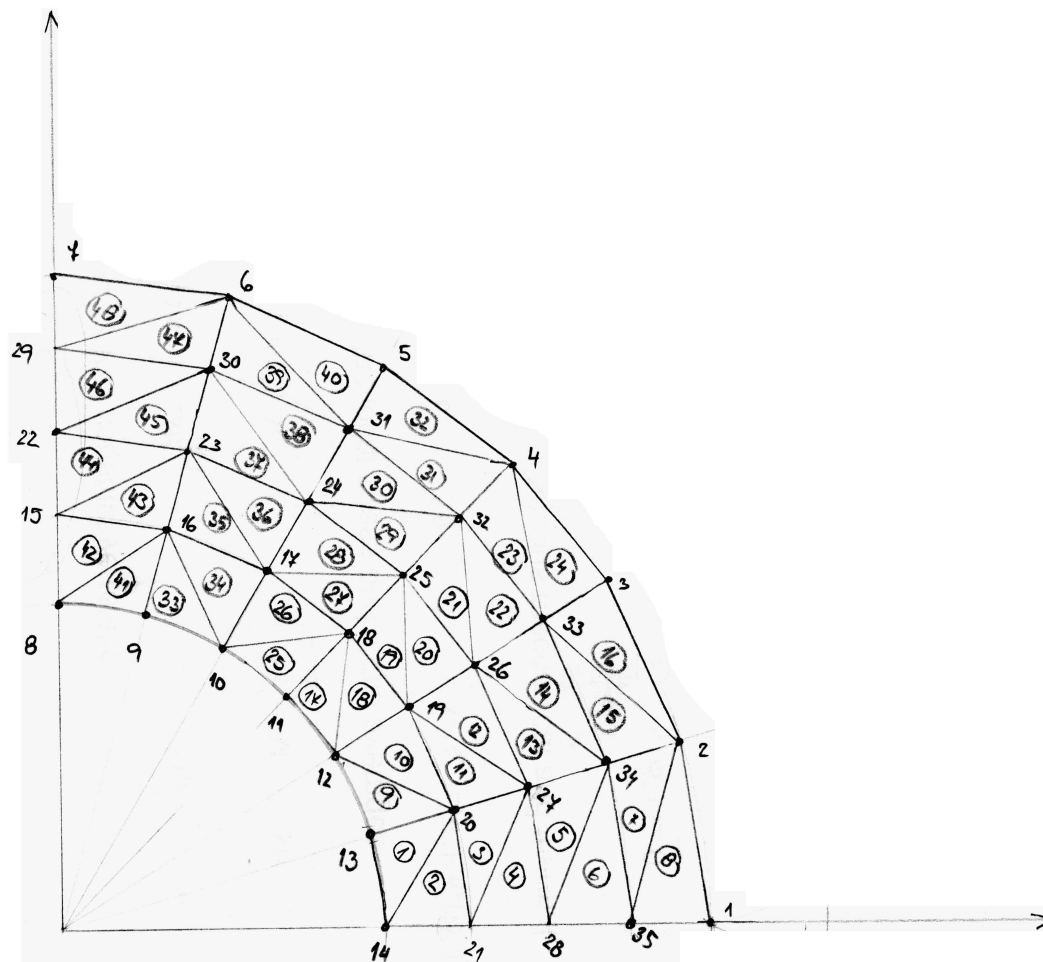
posunutí $\mathbf{u}(\xi) = \int_{\Gamma_u} \mathbf{U}^*(\xi, \mathbf{x}) \mathbf{p}(\mathbf{x}) d\Gamma - \int_{\Gamma_p} \mathbf{P}^*(\xi, \mathbf{x}) \mathbf{u}(\mathbf{x}) d\Gamma + \mathbf{u}_I(\xi)$

napětí $\boldsymbol{\sigma}(\xi) = \int_{\Gamma_u} \mathbf{D}^*(\xi, \mathbf{x}) \mathbf{p}(\mathbf{x}) d\Gamma - \int_{\Gamma_p} \mathbf{S}^*(\xi, \mathbf{x}) \mathbf{u}(\mathbf{x}) d\Gamma + \boldsymbol{\sigma}_I(\xi)$

$$\begin{aligned} \mathbf{u}_I(\xi) &= \int_{\Gamma_p} \mathbf{U}^*(\xi, \mathbf{x}) \bar{\mathbf{p}}(\mathbf{x}) d\Gamma - \int_{\Gamma_u} \mathbf{P}^*(\xi, \mathbf{x}) \bar{\mathbf{u}}(\mathbf{x}) d\Gamma \\ &+ \int_{\Omega} \mathbf{U}^*(\xi, \mathbf{x}) \bar{\mathbf{X}}(\mathbf{x}) d\Omega + \int_{\Omega} \boldsymbol{\Sigma}^*(\xi, \mathbf{x}) \bar{\boldsymbol{\varepsilon}}_0(\mathbf{x}) d\Omega \end{aligned}$$



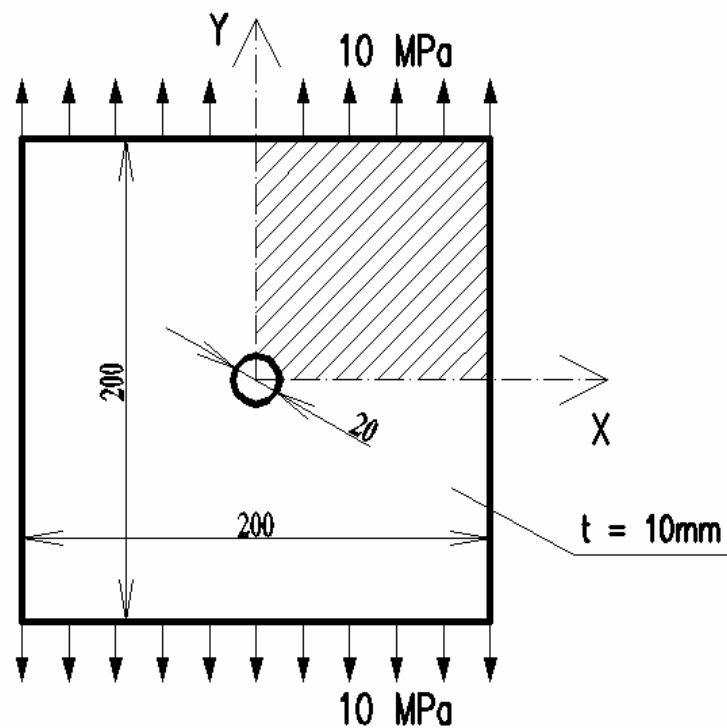
Interní buňka





Numerický příklad

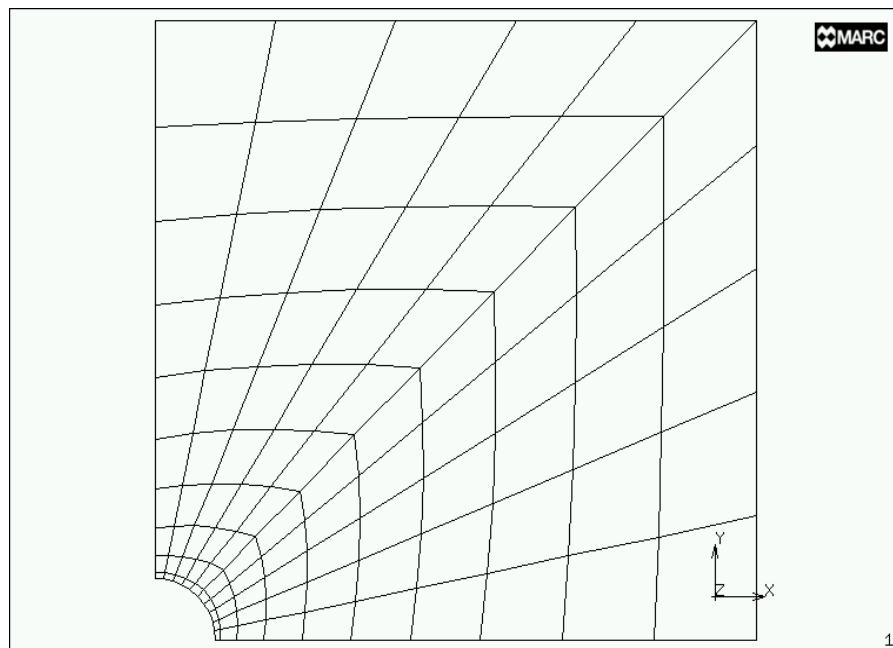
$E = 200000\text{MPa}$
 $\nu = 0,3$





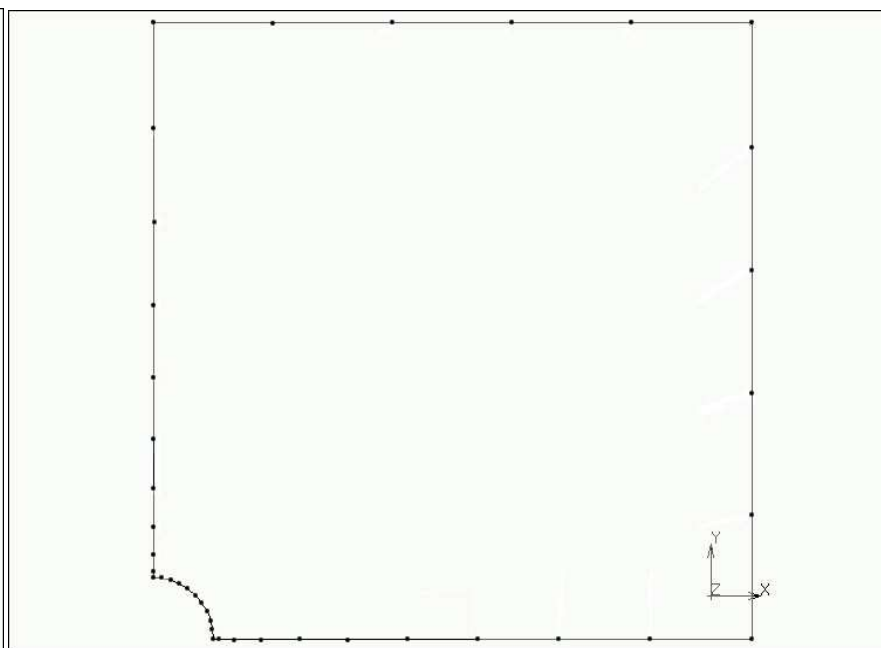
Diskretizace

FEM



1

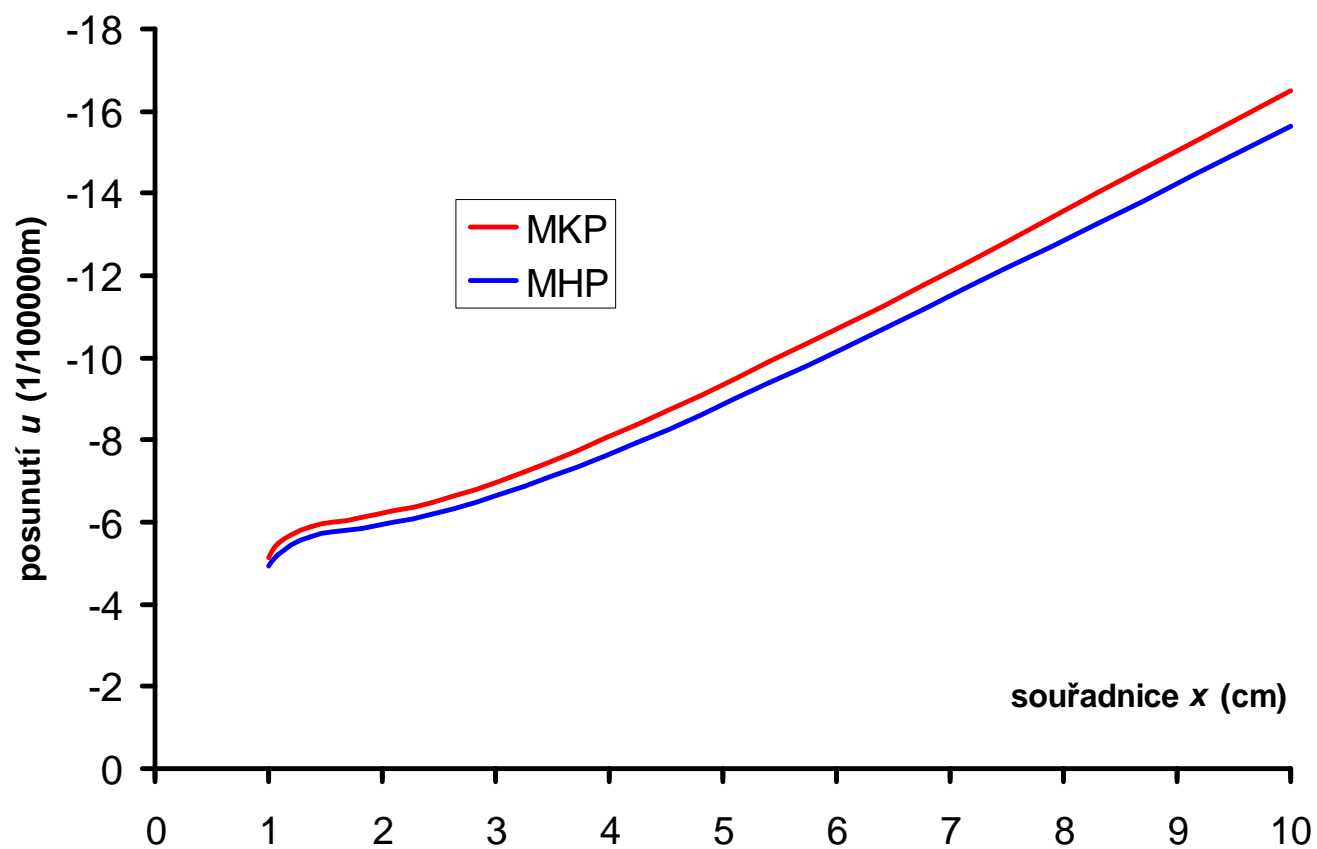
BEM





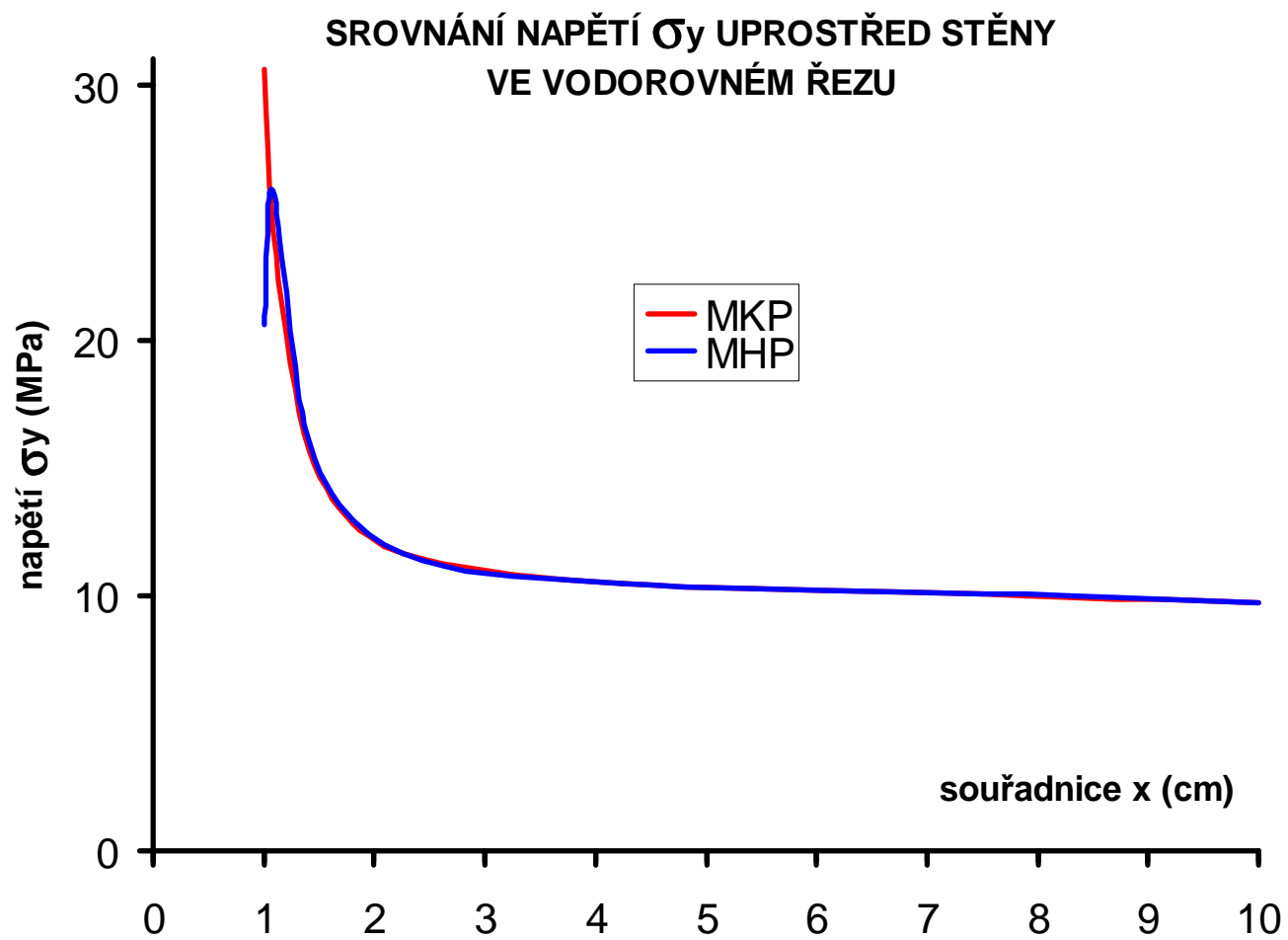
Výsledky

POROVNÁNÍ POSUNU u (VE SMĚRU OSY X) UPROSTŘED STĚNY
VE VODOROVNÉM ŘEZU





Výsledky





Další „problémy“

2D, 3D, axisymetrie

Ohyb desky

Difuzní problémy

- Lineární
- Nelineární
- Časová diskretizace – časově nezávislé fundamentální řešení
 - časově závislé fundamentální řešení

Přenos tepla

Sdružený přenos tepla a vlhkosti

Konsolidace